

JP6290204

Publication Title:

METHOD OF ITERATIVE SOLUTION WITH PREPROCESSING

Abstract:

PURPOSE:To prevent deterioration in convergence due to a decrease in vector length, an overhead due to the utilization of a list vector, and paralleling as to the iterative solution of large-scale rule space simultaneous linear equations.

CONSTITUTION:Memory access at the time of forward/backward substitution in inverse approximating operation for the iterative solution is facilitated by rearranging an array to improve the operation efficiency of a pipeline processor for vector arithmetic. Further, the forward/backward substitution is performed twice for some part in an area to prevent the deterioration in convergence due to paralleling and the inverse approximating operation which is converged at nearly the same frequency of iteration with a conventional method which is small in parallelism.

Data supplied from the esp@cenet database - <http://ep.espacenet.com>

(19)日本国特許庁 (J P)

(12) 公開特許公報 (A)

(11)特許出願公開番号

特開平6-290204

(43)公開日 平成6年(1994)10月18日

(51)Int.Cl.⁵

G 0 6 F 15/328
15/347

識別記号

庁内整理番号

9194-51.

A 9194-51.

F I

技術表示箇所

審査請求 有 請求項の数 2 O L (全 11 頁)

(21)出願番号 特願平5-78404

(22)出願日 平成5年(1993)4月6日

(71)出願人 000004237

日本電気株式会社

東京都港区芝五丁目7番1号

(72)発明者 鷺尾 巧

東京都港区芝五丁目7番1号 日本電気株式会社社内

(74)代理人 弁理士 京本 直樹 (外2名)

(54)【発明の名称】 前処理付き反復解法方式

(57)【要約】

【目的】 ベクトル計算機を利用した大規模規則スパース連立一次方程式の反復求解において、ベクトル長が短くなること、リストベクトルの利用によるオーバーヘッド、並列化による収束性の悪化を防ぐ。

【構成】 配列の並べ換えにより、反復解法の逆近似操作における前進後退代入時のメモリアクセスを単純化し、ベクトル演算でのパイプラインプロセッサの稼働効率を高める。また、前進後退代入を領域内の一部で2度行うことにより、並列化による収束性の悪化を防ぎ、並列性の少なかった従来法と同程度の反復回数で収束する逆近似操作を行う。

(a) 等間隔アクセス形式の配列並び

$NX=5, NY=4, NZ=3, INC=1$

$K=3$

59	59	60	(6)	62	63
58	54	55	59	(5)	
48	(4)	50	51	52	
45	41	(4)	46	48	47

$K=2$

(6)	58	59	60	(6)	62
52	(5)	54	55	56	
47	43	(4)	44	45	41
22	23	24	(2)	25	21

$K=1$

10	(7)	13	18	20	(2)
11	12	(4)	14	15	
8	7	9	(8)	10	
(1)	2	3	4	(6)	
i=1				i=5	

IN

数字は配列の番号を示す。

(b) 逆順アクセス形式の配列並び

$NX=5, NY=4, NZ=3, INC=1$

$K=3$

59	51	50	(6)	54	52
(1)	52	50	59	(5)	
58	(4)	51	48	57	
47	55	(2)	39	46	

$K=2$

(6)	58	48	54	(6)	20
52	(5)	57	45	53	
48	51	(8)	28	44	
24	42	55	(7)	25	

$K=1$

10	(7)	20	41	50	(2)
11	12	(4)	22	49	
8	58	59	(8)	21	
(1)	19	37	55	(6)	
i=1				i=5	

数字は配列の番号を示す。

【特許請求の範囲】

【請求項1】 バイブラインプロセッサと、複数のメモリバンクよりなりインターリーブ方式を採用した主記憶装置とからなるベクトル計算機システムでの前処理付き反復解法方式において、

偏微分方程式のn点差分近似により得られる係数行列の配列データA1、A2、…、An、右辺の配列データB、反復の初期値の配列データU、格子点サイズNX、NY、NZ、多重度KDを入力データとし、前記格子点サイズを参照してXY平面ごとの増分を算出し、各XY平面の配列データの末尾に前記XY平面ごとの増分を追加することにより前記係数行列の配列データ、右辺の配列データ、反復の初期値の配列データを等間隔アクセス形式に並べ換えるデータ並べ換え手段と、

前記並べ換え手段で並べ換えられた配列データと多重度KDを参照して、主記憶装置への等間隔アクセスのベクトル演算で前記係数行列の近似行列分解を行い近似行列分解の配列データを生成する多数係数行列分解手段と、前記多重度、前記係数行列分解手段で得た配列データ、前記並べ換え手段で得た係数行列の配列データを参照して、主記憶装置への等間隔アクセスのベクトル演算で前

進後退代入を行う多重前進後退代入手段とからなる前処理付き反復解法方式。

【請求項2】 バイブラインプロセッサと、複数のメモリバンクよりなりインターリーブ方式を採用した主記憶装置とからなるベクトル計算機システムでの前処理付き反復解法方式において、偏微分方程式のn点差分近似により得られる係数行列の配列データA1、A2、…、An、右辺の配列データB、反復の初期値の配列データU、格子点サイズNX、NY、NZ、多重度KDを入力データとし、前記格子点サイズを参照して、前記係数行列の配列データ、右辺の配列データ、反復の初期値の配列データを請求項1記載の等間隔アクセス形式への並べ換え手段により等間隔アクセス形式に並べ換えたのち、等間隔にならんだデータを連続に並べ換える連続アクセス形式へのデータ並べ換

$$\begin{aligned} & a_1(I, J, K) \cdot u(I, J, K-1) + a_2(I, J, K) \cdot u(I, J \\ & -1, K) + a_3(I, J, K) \cdot u(I-1, J, K) + a_4(I, J, K) \\ & \cdot u(I, J, K) + a_5(I, J, K) \cdot u(I+1, J, K) + a_6(I, \\ & J, K) \cdot u(I, J+1, K) + a_7(I, J, K) \cdot u(I, J, K+1) \\ & = b(I, J, K) \cdots (1) \end{aligned}$$

を得る。ここで、 $u(I, J, K)$ が求める未知の物理量に対応し、 $a_1 \cdots a_7$ 、 b は偏微分方程式と格子点間の幅より定まるデータである。ただし、 $a_1(I, J, 1)$ などのGの外の格子点に掛かる係数は零とする。

【0006】 (1) 式をG内のすべての格子点に連立させて、一つの連立一次方程式ができる。これを図7のベクトル計算機で解く場合、 $a_1 \cdots a_7$ 、 b 、 u などの各種ベクトルデータは、計算のベクトル化による高速

え手段と、

前記並べ換え手段で並べ換えられた配列データと多重度KDを参照して、主記憶装置への連続アクセスのベクトル演算で前記係数行列の近似行列分解を行い近似行列分解の配列データを生成する多重係数行列分解手段と、前記多重度、前記係数行列分解手段で得た配列データ、前記並べ換え手段で得た係数行列の配列データを参照して、主記憶装置への連続アクセスのベクトル演算で前進後退代入を行う多重前進後退代入手段とからなる前処理付き反復解法方式。

【発明の詳細な説明】

【0001】

【産業上の利用分野】 本発明は、偏微分方程式の差分近似より生じる連立一次方程式の前処理付き反復解法に関し、特に複数のメモリバンクよりなりインターリーブ方式をとる主記憶装置とバイブラインプロセッサからなるベクトル計算機システムでの前処理付き反復解法方式に関する。

【0002】

【従来の技術】 科学技術計算においては、偏微分方程式を解かねばならない場合がよく生じる。このようなとき、偏微分方程式が扱う物理空間を直交格子により分割し、物理量の微分を隣接する格子点との差分で近似し、得られた差分方程式を前処理付き反復法を用いて計算機で解いて、各格子点上での解の近似値を得る方法が使用される。

【0003】 3次元の直方体上での問題の場合は、各辺をNX、NY、NZ個の格子点で分割したとすると、格子点の集合Gは、

$$G = \{ (I, J, K) \mid 1 \leq I \leq NX, 1 \leq J \leq NY, 1 \leq K \leq NZ \}$$

となり、各格子点において、もとの偏微分方程式を7点差分により近似したときは、各格子点

【0004】

【数1】

$$(I, K, J) \in G$$

【0005】 において、差分方程式

$$\begin{aligned} & a_1(I, J, K) \cdot u(I, J, K-1) + a_2(I, J, K) \cdot u(I, J \\ & -1, K) + a_3(I, J, K) \cdot u(I-1, J, K) + a_4(I, J, K) \\ & \cdot u(I, J, K) + a_5(I, J, K) \cdot u(I+1, J, K) + a_6(I, \\ & J, K) \cdot u(I, J+1, K) + a_7(I, J, K) \cdot u(I, J, K+1) \\ & = b(I, J, K) \cdots (1) \end{aligned}$$

化のため、通常、1次元配列として主記憶装置上に確保される。例えばベクトルデータuに対しては、 $N = NX \cdot NY \cdot NZ$ とするとき、配列U(1)、…、U(N)を

により対応させる。他のデータに関しても同様にする。ベクトル計算機の主記憶装置は、図7に示すように複数のメモリバンクMB(0)、MB(1)、…、M

B (N-1) により構成される。各メモリバンクは独立に動作できるので、一つのメモリバンクの動作速度が遅くても異なるメモリバンクを連続してアクセスする場合は高速にデータが読み書きできる。メモリ全体のアドレスは図7に示すように連続するワードが異なるメモリバンクに割り当てられるようインターリーブ方式をとる。このとき各配列は、添字が1増加するごとに、一つのデータにつき1ワード要する場合はアドレスを1増加させて、2ワード要する場合はアドレスを2増加させて主記憶装置上に置かれる。

【0007】Gに含まれる格子点を順序付け、u (I, J, K) と b (I, J, K) をその順序にしたがってならべた列ベクトル表示を v u, v b とすると、すべての格子点についての (1) 式は N×N 正行列 A を用いて、

$$A \cdot v u = v b \cdots (3)$$

とまとめて表すことができる。この場合 A のほとんどの成分は零であり、このような疎な係数行列をもつ連立一次方程式を解くのに、前処理付き反復解法が有効である。前処理付き反復解法は、内積、A に対する行列ベクトル積、ベクトルの積和、前処理からなり、これらの組み合わせにより種々の手法が提案されている。したがって、前処理付き反復法を高速に実行するためには、前記の各演算を高速に実行する必要がある。前記の各演算のうち前処理とは、A の適当な近似行列 P と与えられたベクトル v r に対して、P を係数行列とする連立一次方程式

$$P \cdot v s = v r \cdots (4)$$

を解いて、ベクトル v s を求める逆近似操作のことである。前処理について注意すべきことは、前処理行列 P が係数行列 A を良く近似しているほど、少ない反復回数で精度の良い近似解が各反復解法において得られることである。このような条件を満たす行列として A の M I L U 分解行列がある。M I L U 分解行列は、A の狭義下三角行列 L、A の狭義上三角行列 U と対角行列 D を用いて、 $P = (L + D) \cdot D^{-1} \cdot (D + U) \cdots (5)$

と表せる。ここで、D は 0 と 1 の間のパラメータ α を一

$$q(I, J, K) = d(I, J, K) \cdot (r(I, J, K) - a_3(I, J, K) \cdot q(I-1, J, K) - a_2(I, J, K) \cdot q(I, J-1, K) - a_1(I, J, K) \cdot q(I, J, K-1)) \cdots (9)$$

を並列に計算でき、(7) 式の後退代入でも、同様に H (NX+NY+NZ) から H (3) にかけて順次、各ハ

$$s(I, J, K) = q(I, J, K) - d(I, J, K) \cdot (a_5(I, J, K) \cdot s(I+1, J, K) + a_6(I, J, K) \cdot s(I, J+1, K) - a_7(I, J, K) \cdot s(I, J, K+1)) \cdots (10)$$

を並列に計算できる。ここで s (I, J, K)、q (I, J, K)、r (I, J, K) は、それぞれ列ベクトル v s, v q, v r の格子点 (I, J, K) に対応する成分の値である。

【0013】マルチカラーオーダリングでは、2以上の

つ定めて、

$$D = \text{diag} (L \cdot D^{-1} \cdot U) = a \cdot \text{rowsum} (\text{nondiag} (L \cdot D^{-1} \cdot U)) = \text{diag} (A) \cdots (6)$$

より決まる対角行列である。(6) 式において、diag (・) は (・) 内の行列の対角成分以外を零とする対角行列を、nondiag (・) は (・) 内の行列の対角成分を零とする行列を rowsum (・) は (・) 内の行列に対し各行の和をその行の対角成分とした対角行列を表す。

【0008】M I L U 分解行列に対する前処理は、前進代入と後退代入からなる。前進代入では、

$$(L + D) \cdot v q = v r \cdots (7)$$

を満たすベクトル v q を求め、後退代入では、

$$D^{-1} \cdot (D + U) \cdot v s = v q \cdots (8)$$

を解いて v s を求める。

【0009】A, L, U の非零成分の位置は列ベクトル表示を定めるときの格子点の順序付けにより異なる。したがって、近似行列 P や (7) 式、(8) 式を解くときの演算の並列性もこの順序付けにより異なってくる。従来技術では (7) 式、(8) 式をベクトル計算機で高速に解くために、格子点の順序付けが工夫され、ハイパープレーンオーダリング、マルチカラーオーダリングなどを利用した前進、後退代入の高速化が用いられていた。

【0010】ハイパープレーンオーダリングは図8

(a) に示すように格子点をハイパープレーン

【0011】

【数2】

$$H(LH) = \{(I, J, K) \in G \mid I + J + K = LH\}$$

$$(3 \leq LH \leq NX + NY + NZ)$$

【0012】ごとに、小さな LH のハイパープレーン H (LH) に含まれる格子点から順に並べる順序付けである。このとき、(6) 式の前進代入では、H (3) から H (NX+NY+NZ) にかけて順次、各ハイパープレーンに含まれる格子点ごとに

ハイパープレーンに含まれる格子点ごとに

カラーの数 NC を最初に定め $0 \leq Lc \leq NC - 1$ なる各整数 Lc につきカラー集合 C (Lc) を

【0014】

【数3】

$$C(LC) = \{ (I, J, K) \in G \mid \text{mod}(I+J+K-3, NC) = LC \} \\ (0 \leq LC \leq NC-1)$$

【0015】と定める。そしてLCの小さなC(LC)に含まれる格子点から順序付ける。このとき、各C(LC)は図8(b)に示すようにハイパープレーン集合となる。(6)式の前進代入はハイパープレーンオーダリングのときと同様にC(0)からC(NC-1)にかけて順次、各カラー集合ごとに並列に、(7)式の後退代入はC(NC-1)からC(0)にかけて順次、各カラー集合ごとに並列に計算できる。この従来のハイパープレーンオーダリングを利用する方法については後保範著、「ベクトル計算機向きICCG法」(京都大学数理解析研究所講究録、No. 514 1984)とJack J. Dongarra他著、「Solving Linear System on Vector and Shared Memory Computer」(SIAM 1991)に、マルチカラーオーダリングを利用する方法についてはJames M. Ortega著、「Introduction to Parallel and Vector Solution of Linear systems」(PLENUM 1988)に記述されている。

【0016】

【発明が解決しようとする課題】ところでこのようなオーダリングを利用して、MILU分解行列により前処理を行うとき、並列に計算できる部分はパイプラインプロセッサ上でベクトル化して実行される。この際並列に実行される演算の個数をベクトル長と呼び、パイプライン計算機ではベクトル長が大きいほど稼働効率が増す。また、ベクトル化の際の主記憶の読み書きは規則的であることが好ましい。すなわち、各配列の中のベクトル化の対象となるデータが主記憶上に連続または等間隔に並んでいる場合は、バンク衝突が起こらない限りパイプラインプロセッサと主記憶間のデータ転送が高速に行えるが、不規則な場合はパイプラインプロセッサが1つ1つのデータに関して、その位置を主記憶上に記憶されたリストを参照しながら読み書きを行う必要があり、このオーバーヘッドのためパイプラインプロセッサの稼働効率が落ち演算が遅くなる。

【0017】ハイパープレーンオーダリングを利用する場合、前進後退代入でのベクトル化は各ハイパープレーンごとに行われる。このとき、各配列内の参照されるデータは、式(2)の配列の作り方より一つのyz平面内では、主記憶上でNX-1の間隔で並んでいるが、全体としては不規則である。したがって、ベクトル化に際しては図9のような配列LIST(1), ..., LIST(NX・NY・NZ), NL(2), ..., NL(NX+NY+NZ)を主記憶上にあらかじめ作成しておく必要がある。ここでLISTには、ハイパープレーン

ンオーダリングの順に各格子点の配列内の位置を格納し、NL(LH)にはH(LH)内の最後の格子点の順序を格納する。ただし、NL(2)=0とおく。このような、リストを利用すると、前進代入時の計算では、IをNL・(LH-1)+1からNL(H)まで動かし、J=LIST(I)として演算

$$Q(J) = D(J) - (R(J) - A3(J) \cdot Q(J-1) - A2(J) \cdot Q(J-NX) - A1(J) \cdot Q(J-NX \cdot NY))$$

を行うことにより、H(LH)上での前進代入ができる。しかし、この場合リストの参照によるオーバーヘッドと、更にLHが3または、NX+NY+NZに近いときはH(LH)に含まれる格子点の数が少ないため、ベクトル長が短いという理由から、パイプラインプロセッサの稼働効率が落ちるという問題があった。また、NX-1とバンクメモリの数の最大公約数が大きいときは、H(LH)内の一つのxy平面に含まれる格子点はNX-1飛びで主記憶上に並んでいるため、バンク衝突によりデータの読み書きが遅れ、このため演算速度が落ちるという問題点もあった。

【0018】一方、マルチカラーオーダリングでは、カラーの数NCがNX-1とNY-1の公約数のとき、図10に示すように各C(LC)内の格子点は一つの配列のなかでNC飛びで等間隔に並ぶ。また、ベクトル長も各C(LC)でほぼ等しくなる。このように、前記の条件を満たすNCがある場合、ハイパープレーンオーダリングのように、リストを用いる必要がなく、ベクトル長も一様で長くなるが、NCとバンクメモリの個数の最大公約数が大きいときバンク衝突が起こる。また、この場合C(0)とC(NC-1)の繋ぎ目でのMILU分解行列のAに対する近似度がハイパープレーンオーダリングを用いた場合よりも著しく悪くなるため、ハイパープレーンオーダリングを用いた場合よりも多くの反復を同程度の精度の解を得るまで行う必要が生じるという問題点があった。またNCが小さくなるほどC(0)とC(NC-1)の繋ぎ目の個数が増え収束性が益々悪化するという問題点があった。

【0019】

【課題を解決するための手段】第1の本発明は、パイプラインプロセッサと、複数のメモリバンクよりなりインターリーブ方式を採用した主記憶装置とからなるベクトル計算機システムでの前処理付き反復解法方式において、偏微分方程式のn点差分近似により得られる係数行列の配列データA1, A2, ..., An、右辺の配列データB、反復の初期値の配列データU、格子点サイズNX, NY, NZ、多重度KDを入力データとし、前記格子点サイズを参照してXY平面ごとの増分を算出し、各

XY平面の配列データの末尾に前記XY平面ごとの増分を追加することにより前記係数行列の配列データ、右辺の配列データ、反復の初期値の配列データを等間隔アクセス形式に並べ換えるデータ並べ換え手段と、前記並べ換え手段で並べ換えられた配列データと多重度KDを参照して、主記憶装置への等間隔アクセスのベクトル演算で前記係数行列の近似行列分解を行い近似行列分解の配列データを生成する多重係数行列分解手段と、前記多重度、前記係数行列分解手段で得た配列データ、前記並べ換え手段で得た係数行列の配列データを参照して、主記憶装置への等間隔アクセスのベクトル演算で前進後退入を行う多重前進後退代入手段とからなることを特徴とする。

【0020】また第2の本発明は、パイプラインプロセッサと、複数のメモリバンクよりなりインターリーブ方式を採用した主記憶装置とからなるベクトル計算機システムでの前処理付き反復解法方式において、偏微分方程式のn点差分近似により得られる係数行列の配列データA1, A2, ..., An、右辺の配列データB、反復の初期値の配列データU、格子点サイズNX, NY, NZ、多重度KDを入力データとし、前記格子点サイズを参照して、前記係数行列の配列データ、右辺の配列データ、反復の初期値の配列データを第1の発明の等間隔アクセス形式への並べ換え手段により等間隔アクセス形式に並べ換えたのち、等間隔にならんだデータを連続に並べ換える連続アクセス形式へのデータ並べ換え手段と、前記並べ換え手段で並べ換えられた配列データと多重度KDを参照して、主記憶装置への連続アクセスのベクトル演算で前記係数行列の近似行列分解を行い近似行列分解の配列データを生成する多重係数行列分解手段と、前記多重度、前記係数行列分解手段で得た配列データ、前記並べ換え手段で得た係数行列の配列データを参照して、主記憶装置への連続アクセスのベクトル演算で前進後退

$$NU = \text{int}((M - NX) / (NX - 1)) \cdots (12)$$

より計算する。ここで、INT(・)は()内の実数の整数部のみをとることを意味する。並べ換えでは、図2に示すように上記等間隔アクセス形式の場合と同様にし

$$\begin{aligned} FD(I, J, K, d) = & a4(I, J, K) - a3(I, J, K) \cdot d(I-1, J, K) \cdot (a5(I-1, J, K) + \alpha \cdot (a6(I-1, J, K) + a7(I-1, J, K))) \\ & - a2(I, J, K) \cdot d(I, J-1, K) \cdot (a6(I, J-1, K) + \alpha \cdot (a5(I, J-1, K) + a7(I, J-1, K))) \\ & - a1(I, J, K) \cdot d(I, J, K-1) \cdot (a7(I, J, K-1) + \alpha \cdot (a5(I, J, K-1) + a6(I, J, K-1))) \cdots (13) \end{aligned}$$

でカラー集合ごとに順次求める。この際C(LC)上の格子点(I, J, K)での計算において、必要とされる

入を行う多重前進後退代入手段とからなることを特徴とする。

【0021】

【作用】3次元7点差分近似を例にして説明する。本発明では、カラーの数NCをNX-1として、格子点全体の集合Gをカラー集合C(0), ..., C(NX-2)に分けて、係数行列分解、前進後退代入はこのカラー集合ごとにベクトル化して行う。ベクトル化の際、各ベクトル変数に対応する配列内で一つのカラー集合のデータがNX-1の等間隔、または連続に並ぶように次のようなデータの並べ換え方式を用いる。

【0022】等間隔アクセス形式への並べ換え方式では、各ベクトル変数に対応する配列サイズをM=NX・(NY+1)・NZだけ確保し、入力ベクトル変数のA1, ..., A7, Bに関しては各配列の1からNX・NY・NZまでの添字に対して必要とするデータを格納しておく。最初に、

$$\text{mod}(NX \cdot NY + INC - 1, NX - 1) = 0, 0 \leq INC \leq NX - 1$$

を満たす非負整数INCを

$$\begin{aligned} INC0 &= NX - 1 - \text{mod}(NY - 1, NX - 1), \\ INC &= \text{mod}(INC0, NX - 1) \cdots (11) \end{aligned}$$

より計算する。例えば、配列Vの並べ換えにおいては、図2に示すように作業用配列W(1), ..., W(M)をメモリ内に確保し、最初にWのすべての要素に指定した値Cを書き込んでおく。次にWにVの値をxy平面ごとに間隔INCをおきながら写し、最後にWの値をVに写す。これにより図1(a)に示すように1つのカラー集合内のデータがNX-1の等間隔で並ぶようになり、各xy平面ごとにINCだけ追加した部分には定数Cが残る。

【0023】連続アクセス形式への並べ換え方式では、各カラー集合内の格子点の数の上限に近い上界NUを

$$NU = \text{int}((M - NX) / (NX - 1)) \cdots (12)$$

【0024】多重係数行列分解では、各カラー集合ごとに対角行列d1, d2の成分を求める。図3に示すように、多重度KD(1 ≤ KD ≤ NX-2)を参照して、C(NX-1-KD)上のd1の値を1/a4と置き、次にC(NX-KD)からC(NX-2)までの格子点上のd1の値を310に示すように、ハイパープレーンオーダリングでのMILU分解と同じ式

格子点(I, J, K)での計算において、必要とされる

右辺のd1は格子点(1-1, J, K), (1, J-1, K), (1, J, K-1)上の値であり、これらはすべてC(LC+1)に含まれるから、一つのカラー集合上での計算は並列に行われる。d1の他の値については、後で使用しないので求めずともよい。次にd2の計算を全格子点について順次C(0)からC(NX-2)まで行う。ただし、図3の320のC(0)での計算では、右辺でC(NX-2)上のd1の値を参照する。

$$FS(1, J, K, d, r, q) = d(1, J, K) \cdot (r(1, J, K) - a3(1, J, K) \cdot q(1-1, J, K) - a2(1, J, K) \cdot (1, J-1, K) - a1(1, J, K) \cdot q(1, J, K-1)) \cdots (14)$$

C(0)での計算の前にC(NX-1-KD)からC(NX-2)まで前進代入を行いC(0)での計算では、先的前進代入で求めたC(NX-2)上の値を参照することにより、多重度KDが大きいほどここで求めたqはハイパーブレーションオーダリングでの前進代入の結果に近づく。また各C(LC)上の格子点(1, J, K)での計算において、必要とされる右辺のqは格子点(1-1, J, K), (1, J-1, K), (1, J,

$$BS(1, J, K, d, q, s) = q(1, J, K) - d(1, J, K) \cdot (a5(1, J, K) \cdot s(1+1, J, K) + a6(1, J, K) \cdot s(1, J+1, K) - a7(1, J, K) \cdot s(1, J, K+1)) \cdots (15)$$

次に440で、C(0)でのsの値を参照してC(NX-2)でのtの値を求め、tの値をsに加える。次にC(NX-3)からC(NX-1-KD)まで順次、前のステップで求めたtを参照しながらtを求めsに加えていく。この後退代入においても各C(LC)上の格子点(1, J, K)での計算において、必要とされる右辺のsまたはtは格子点(1+1, J, K), (1, J+1, K), (1, J, K+1)上の値であり、これらはすべてC(LC+1)に含まれるから、一つのカラー集合上での計算は並列に行われる。

【0027】上記のように、C(NX-1-KD)からC(NX-2)での前進後退代入を2回行うことにより、適当なKDを選べばハイパーブレーションオーダリングでのMILU分解行列による前処理と同様の収束性をもつ前処理が実現できる。なお上記の方法は一般の差分近似に拡張できる。

【0028】

【実施例】次に本発明の実施例について3次元7点差分を例にして、図面を参照して詳細に説明する。

【0029】図5は本発明により、等間隔アクセス形式で前処理付き共役勾配法を実行するときの処理手順であ

$$Y(J) = A1(J) \cdot V(J-NXYC) + A2(J) \cdot V(J-NX) + A3(J) \cdot V(J-1) + A4(J) \cdot V(J) + A5(J) \cdot V(J+1) + A6(J) \cdot V(J+NX) + A7(J) \cdot V(J+NXYC)$$

を添字Jにつき1からM=NX・(NY+1)・NZまで行えばよい。

【0031】前処理も、一つの格子点の配列データの添字とその周りの格子点の配列データの添字の規則性よ

【0025】次に多重前進後退代入方式の説明を行う。図4に示すように前進代入では、410でC(NX-1-KD)からC(NX-2)まで、順次d1を参照してqの値を求める。次に420でd2を参照してC(0)からC(NX-2)までのsの値を求める。ここで各格子点における演算式FS(・)はハイパーブレーションオーダリングでの演算式と同じものであり、次式に従う。

K-1)上の値であり、これらはすべてC(LC-1)に含まれるから、一つのカラー集合上での計算は並列に行われる。

【0026】後退代入では、上記前進代入と対象な操作を行う。430でC(NX-2)からC(0)にかけて順次後退代入を行いsを求める。このとき演算式はハイパーブレーションオーダリングと同じものを次式に従う。

る。510の配列の並べ換えでは、係数行列の対角成分にあたるA4のみは、図2の210の定数Cとして1を用い、他のA1, A2, A3, A5, A6, A7, B、初期値Uについては0を用いて並べ換える。これは、520で行う係数行列分解で零割りが生じるのを防ぐためである。530で初期設定を行う。反復計算では、540と570で積和、560と592で内積、550で行列ベクトル積、590で前処理を行う。580では収束判定を行い残差rが十分小さければ、591で、A1, ..., A7, Bと得られた解Uをもとのデータ形式に並べ換え終了する。

【0030】内積、積和計算はR(NX・NY+1), ..., R(NX・NY+1NC)などの並べ換えのとき追加したデータもこめて行えば1度の連続アクセスのベクトル演算でできる。ただし、どのベクトル変数についても、追加分には反復の初期に0を入れておく。行列ベクトル積も隣合う格子点の添字の関係が図6(a)に示すように規則的になるから、530と550での行列ベクトル積も次のように1回の連続アクセスのベクトル演算で済む。例えば、550では

り、図4のDO PARALLELで示す各ベクトル演算がNX-1飛びの等間隔アクセスで実行できる。例えば、420のC(LC)上でのベクトル演算は、

$$Q(J) = D2(J) \cdot (R(J) - A3(J) \cdot Q(J-1) - A2(J) \cdot Q(J-NX) - A1(J) \cdot Q(J-NXYC))$$

を $J = LC + 1$ から M まで $NX - 1$ 飛びで行えばよい。
図3に示した係数行列分解で $D1$ 、 $D2$ を求めるときも同様である。

【0032】第2の実施例は、連続アクセス形式のデータを使用する場合である。この場合も、上記第1の実施例と同様で図5に示す処理の流れに従う。ただし、図6

$$Y(J) = A1(J) \cdot V(J + NUZ - 1, XY - 1) + A2(J) \cdot V(J + NUZ - 2) + A3(J) \cdot V(J + NUZ - 1) + A4(J) \cdot V(J) + A5(J) \cdot V(J + NU) + A6(J) \cdot V(J + NU + 1) + A7(J) \cdot V(J + NU + 1)$$

を $J = 1$ から NU まで連続に1回のベクトル演算で行

$$Y(J) = A1(J) \cdot V(J - NU + 1) + A2(J) \cdot V(J - NU - 1) + A3(J) \cdot V(J - NU) + A4(J) \cdot V(J) + A5(J) \cdot V(J + NU) + A6(J) \cdot V(J + NU + 1) + A7(J) \cdot V(J + NU + 1)$$

を $J = NU + 1$ から $NU \cdot (NX - 2)$ まで連続に1回

最後に

$$Y(J) = A1(J) \cdot V(J - NU + 1) + A2(J) \cdot V(J - NU - 1) + A3(J) \cdot V(J - NU) + A4(J) \cdot V(J) + A5(J) \cdot V(J - NUZ + 1) + A6(J) \cdot V(J - NUZ + 2) + A7(J) \cdot V(J - NUZ + 1, XY + 1)$$

を $J = NU \cdot (NX - 2) + 1$ から $NU \cdot (NX - 1)$ まで連続に1回のベクトル演算で行えばよい。前処理に関しては、図4のDO PARALLELで示す各ベク

$$Q(J) = D2(J) \cdot (R(J) - A3(J) \cdot Q(J - NU) - A2(J) \cdot Q(J - NU - 1) - A1(J) \cdot Q(J - NU + 1))$$

を $J = NU \cdot LC + 1$ から $NU \cdot (LC + 1)$ まで連続して行えばよい。図3に示した係数行列分解で $D1$ 、 $D2$ を求めるときも同様である。

【0033】

【発明の効果】以上説明したように本発明により、前進後退代入でのベクトル演算のベクトル長がマルチカラーオーダリングと同様にカラー集合内の格子点の数だけとれるため十分長くなり、多重度で指定された分だけ重ねて前進後退代入を行うことにより、マルチカラーオーダリングのように収束性が悪化せず、ハイパープレーンオーダリングと同様の収束性を示す前処理が実現できる。また、配列の等間隔アクセス形式への並べ換えにより、任意の格子点サイズ NX 、 XY 、 NZ の問題に対し、一つのカラー集合内の配列データが $NX - 1$ の等間隔でアクセスでき、ハイパープレーンオーダリングでの前進後退代入に比べてパイプラインプロセッサの稼働効率が良くなる。さらに、連続アクセス形式への並べ換えを使用すれば、一つのカラー集合内の配列データがアクセスでき、どのような格子点サイズの問題に対してもバンク衝突でパイプラインプロセッサの稼働効率が落ちることがなくなる。

【図面の簡単な説明】

【図1】(a) は等間隔アクセス形式の配列並びを、

(b) に示すように、各格子点とそのまわりの格子点の添字の関係が、その格子点がどのカラー集合に含まれるかにより異なる。したがって、行列ベクトル積では、3つに分けてベクトル演算をする必要がある。例えば、550では

い、次に

のベクトル演算で行い、

トル演算が連続アクセスで実行できる。例えば、420の $C(LC)$ 上でのベクトル演算は、

(b) は連続アクセス形式の配列並びを示す図である。

【図2】配列の等間隔アクセス形式または連続アクセス形式への並べ換え手段を示す図である。

【図3】多重度KDの多重係数行列分解手段を示す図である。

【図4】多重度KDの多重前進後退代入手段を示す図である。

【図5】前処理付き共役勾配法を示す図である。

【図6】(a) は等間隔アクセス形式における添字の関係を、(b) は連続アクセス形式における添字の関係を示す図である。

【図7】ベクトル計算機システムを示す図である。

【図8】(a) はハイパープレーンオーダリングでの順序付けを、(b) はマルチカラーオーダリングでの順序付けを示す図である。

【図9】ハイパープレーンオーダリングのリストの構造を示す図である。

【図10】カラー集合と配列の添字の対応を示す図である。

【符号の説明】

710 パイプラインプロセッサ

720 主記憶装置

730 メモリバンク

【図1】

(a) 等間隔アクセス形式の配列並び

NX=5, NY=4, NZ=3, INC=1

K=3

58	59	60	(61)	62	63
(64)	54	55	56	(57)	
48	(49)	60	61	62	
43	44	(45)	46	47	

K=2

(27)	28	29	30	(31)	32
32	(33)	34	35	36	
27	28	(29)	30	31	
22	23	24	(25)	26	

数字は配列の添字を示す。

K=1

16	(17)	18	19	20	(21)
11	12	(13)	14	15	
6	7	8	(9)	10	
(1)	2	3	4	(5)	

I=1 I=5

(b) 連続アクセス形式の配列並び

NX=5, NY=4, NZ=3, IU=1

K=3

33	51	69	(19)	34	52
(14)	32	50	88	(15)	
86	(13)	31	49	87	
47	65	(12)	20	48	

K=2

(10)	28	46	64	(11)	29
82	(8)	27	45	63	
43	81	(9)	26	44	
24	42	60	(7)	25	

数字は配列の添字を示す。

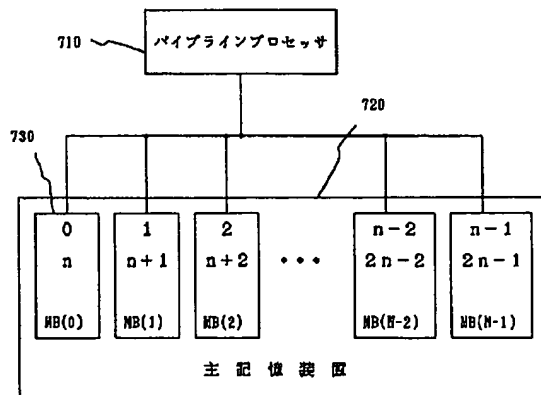
K=1

58	(5)	28	41	59	(6)
39	57	(4)	22	40	
20	38	56	(3)	21	
(1)	18	27	55	(2)	

I=1 I=5

【図7】

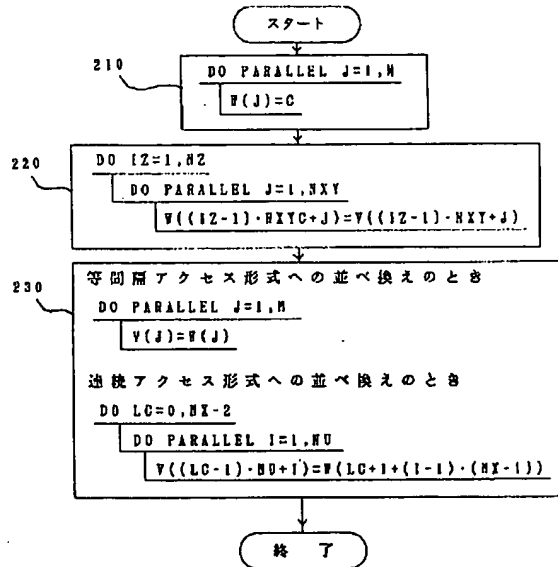
ベクトル計算機システム



【図2】

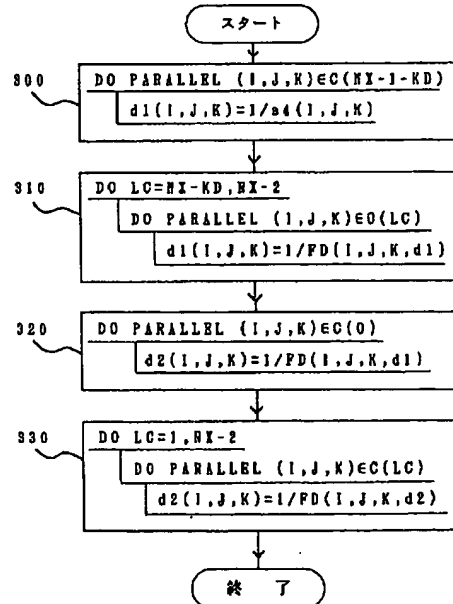
配列の等間隔アクセス形式または連続アクセス形式への並べ換え手段

(NXY=NX*NY, NXYC=NXY+INC)



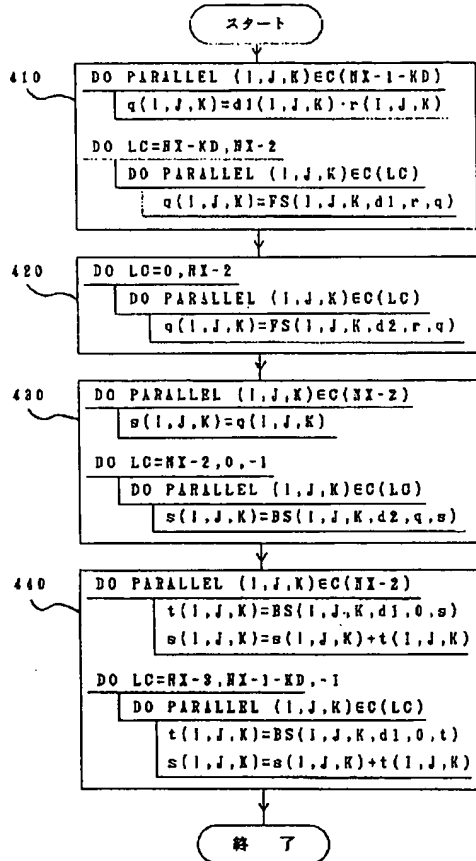
【図3】

多重度KDの多重係数行列分解手段



【図4】

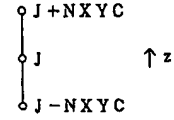
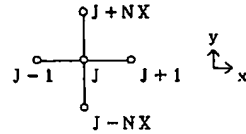
多重度KDの多重前進後退代入手段



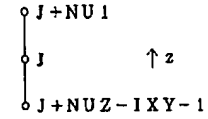
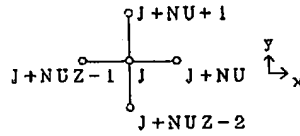
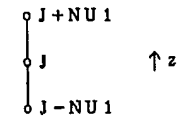
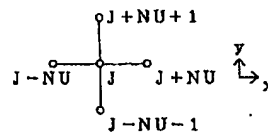
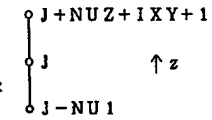
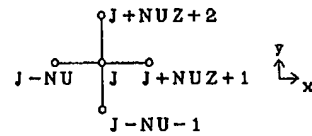
【図6】

(a) 等間隔アクセス形式における添字の関係

$$NXYC = NX \cdot NY + 1 + NC$$



(b) 連続アクセス形式における添字の関係

 $J \in C(0)$ のとき $J \in C(1) \sim C(NX-3)$ のとき $J \in C(NX-2)$ のときただし $1XY = (NXYC - 1) / (NX - 1)$

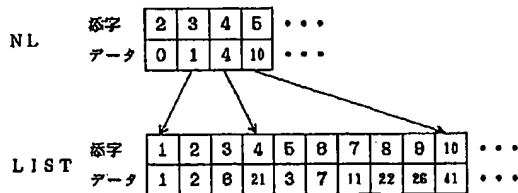
$$NU1 = NU + 1XY$$

$$NUZ = NU \cdot (NX - 2)$$

【図9】

ハイパープレーンオーダリングのリストの構造

NX=6, NY=4, NZ=3 のとき



【図10】

カラー集合と配列の添字の対応

NX=4, NY=4, NZ=3, NC=3

K=3

45	(46)	47	48
41	42	(43)	44
(37)	38	39	(40)
33	(34)	35	36

K=2

28	30	(31)	32
(25)	26	27	(29)
21	(22)	23	24
17	18	(19)	20

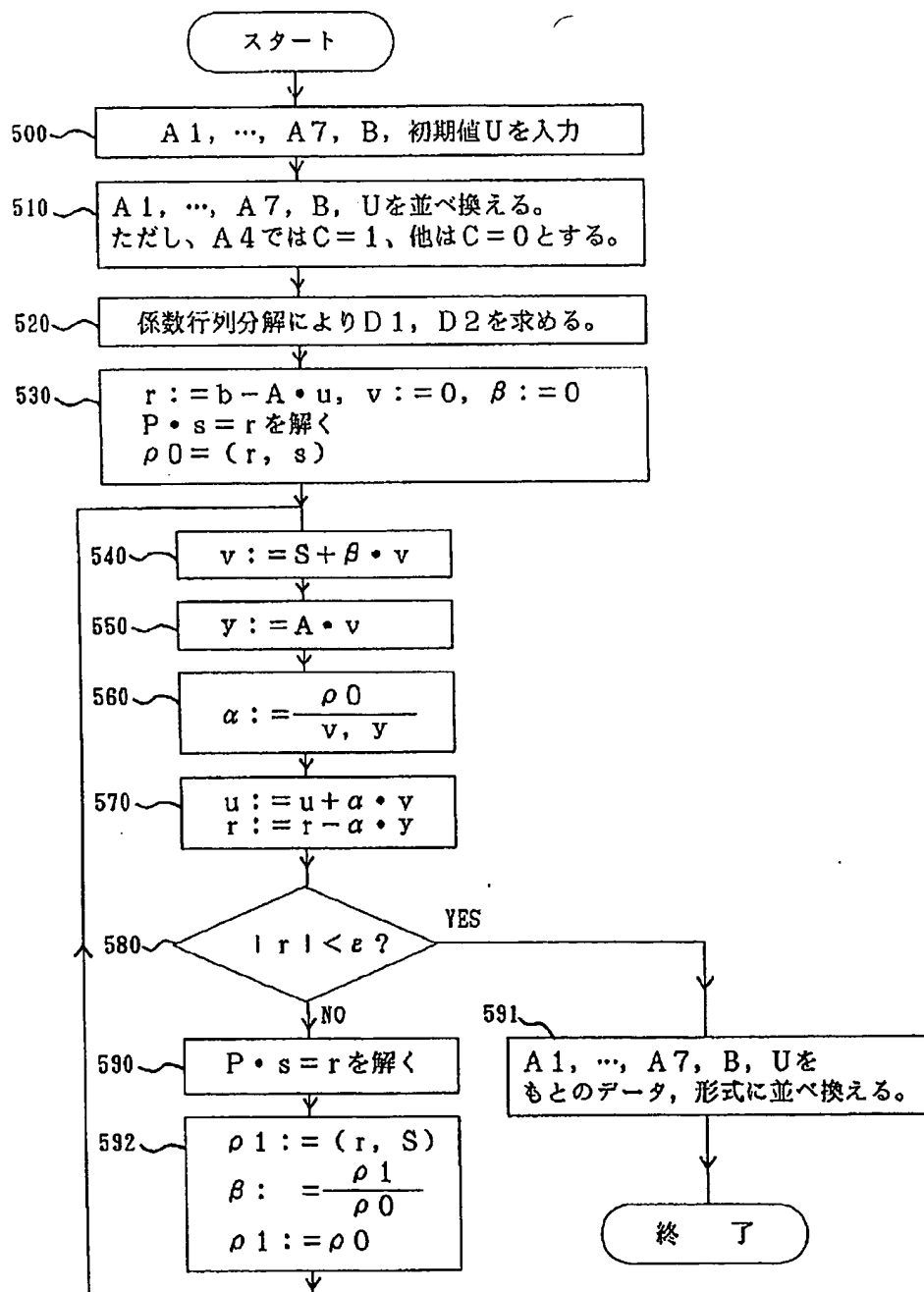
J=4, K=1, I=1 to I=5

(13)	14	15	(16)
9	(10)	11	12
5	6	(7)	8
(1)	2	3	(4)

○ は C(0) の格子点
数字は配列の添字を示す。

【図5】

前処理付き共役勾配法



【図8】

(a) ハイパープレーンオーダリングでの順序付け

 $NX=5, NY=4, NZ=3$

$K=3$

41	50	56	59	80
30	40	49	55	58
(19)	29	39	48	64
10	(18)	28	38	47

$K=2$

27	37	46	53	57
(17)	26	36	45	52
9	(16)	25	35	44
4	8	(15)	24	34

○はH(8)の
格子点

数字は順序付けを示す。

$K=1$

J=4	(14)	23	33	43	51
	7	(13)	22	32	42
	3	6	(12)	21	31
J=1	1	2	5	(11)	20
	I=1				I=5

(b) マルチカラーオーダリングでの順序付け

 $NX=4, NY=4, NZ=3, NC=3$

$K=3$

47	(16)	32	48
30	46	(15)	31
(19)	29	45	(14)
49	(12)	28	44

$K=2$

26	42	(11)	27
(9)	25	41	(10)
39	(8)	24	40
22	38	(7)	23

○はC(0)の
格子点

数字は順序付けを示す。

$K=1$

J=4	(6)	21	37	(8)
	35	(4)	20	36
	18	34	(3)	19
J=1	(1)	17	33	(2)
	I=1			I=4

**This Page is Inserted by IFW Indexing and Scanning
Operations and is not part of the Official Record**

BEST AVAILABLE IMAGES

Defective images within this document are accurate representations of the original documents submitted by the applicant.

Defects in the images include but are not limited to the items checked:

- ☐ BLACK BORDERS
- ☐ IMAGE CUT OFF AT TOP, BOTTOM OR SIDES
- ☐ FADED TEXT OR DRAWING
- ☐ BLURRED OR ILLEGIBLE TEXT OR DRAWING
- ☐ SKEWED/SLANTED IMAGES
- ☐ COLOR OR BLACK AND WHITE PHOTOGRAPHS
- ☐ GRAY SCALE DOCUMENTS
- ☐ LINES OR MARKS ON ORIGINAL DOCUMENT
- ☐ REFERENCE(S) OR EXHIBIT(S) SUBMITTED ARE POOR QUALITY
- ☐ OTHER: _____

IMAGES ARE BEST AVAILABLE COPY.

As rescanning these documents will not correct the image problems checked, please do not report these problems to the IFW Image Problem Mailbox.